

# การเสริมฤทธิ์กันของ Lup-20 (29)-ene-3 $\alpha$ , 23-diol จากไคร้ ร่วมกับยาปฏิชีวนะในการยับยั้งแบคทีเรียฉวยโอกาส

วิสาตรี คงเจริญสุนทร วท.ม., Ph.D.\*, วารี เนื่องจำนงค์ วท.ม., Ph.D.\*\* , อัสনীดา สามแม วท.ม.\*\*\*

## บทคัดย่อ

งานวิจัยนี้มีวัตถุประสงค์เพื่อศึกษาฤทธิ์ในการยับยั้งการเจริญของแบคทีเรียฉวยโอกาสของ Lup-20 (29)-ene-3 $\alpha$ , 23-diol ซึ่งเป็นสารบริสุทธิ์ที่ได้จากส่วนสกัดหยาบเฮกเซนจากลำต้นของไคร้ (*Glochidion daltonii*) ผลการวิจัยพบว่า Lup-20 (29)-ene-3 $\alpha$ , 23-diol สามารถยับยั้งการเจริญของเชื้อแบคทีเรีย *Escherichia coli* ATCC 25922, *Pseudomonas aeruginosa* ATCC 27853 และ *Serratia marcescens* มีค่าระหว่าง 128-512  $\mu$ M จากนั้นนำมาศึกษาการเสริมฤทธิ์ของ Lup-20 (29)-ene-3 $\alpha$ , 23-diol กับยาปฏิชีวนะแอมพิซิลินและเตตราซัยคลิน และศึกษาเวลาที่เหมาะสม (Time-Kill Assay) ผลการวิจัยการออกฤทธิ์ของสารบริสุทธิ์ พบว่า Lup-20 (29)-ene-3 $\alpha$ , 23-diol สามารถเสริมฤทธิ์กับยาปฏิชีวนะเตตราซัยคลินในการยับยั้งการเจริญของ *P. aeruginosa* ATCC 27853 (FICI เท่ากับ 0.28) และมีฤทธิ์ไม่แตกต่างจากการใช้ยาปฏิชีวนะแอมพิซิลินหรือเตตราซัยคลินในการยับยั้งการเจริญของ *E. coli* ATCC 25922 (FICI เท่ากันคือเท่ากับ 1.007) จากการศึกษาหาเวลาที่เหมาะสมของ Lup-20 (29)-ene-3 $\alpha$ , 23-diol ร่วมกับยาปฏิชีวนะเตตราซัยคลินที่ดีที่สุดในการยับยั้งการเจริญของเชื้อ *P. aeruginosa* ATCC 27853 พบว่าสามารถเสริมฤทธิ์กันได้ดีในชั่วโมงที่ 8 เมื่อผสมยาปฏิชีวนะเตตราซัยคลิน เท่ากับ 1/16 เท่าของ MIC ของยา ร่วมกับ Lup-20 (29)-ene-3 $\alpha$ , 23-diol เท่ากับ 1/16 เท่าของ MIC ของสารเมื่อใช้เพียงชนิดเดียว ผลการศึกษาค้นคว้าครั้งนี้พิสูจน์ให้เห็นว่า Lup-20 (29)-ene-3 $\alpha$ , 23-diol จากไคร้ สามารถเสริมฤทธิ์ร่วมกับยาปฏิชีวนะเตตราซัยคลินในการยับยั้งการเจริญของแบคทีเรียฉวยโอกาสบางสายพันธุ์ได้อย่างมีประสิทธิภาพ

คำสำคัญ : Lup-20 (29)-ene-3 $\alpha$ , 23-diol, แบคทีเรียฉวยโอกาส, การเสริมฤทธิ์, แอมพิซิลินและเตตราซัยคลิน

## Synergistic Antibacterial Effect of Lup-20 (29)-ene-3 $\alpha$ , 23-diol from *Glochidion daltonii* (Müll. Arg.) Kurz. and Antibiotics on Opportunistic Bacteria

Wisatre Kongcharoensuntorn M.Sc., Ph.D.\*, Watee Naengchomnong M.Sc., Ph.D.\*\* , Asanida Samae M.Sc.\*\*\*

## Abstract

The objectives of this research were to test antibacterial activity of Lup-20 (29)-ene-3 $\alpha$ , 23-diol, isolated from hexane extract from the stem of *Glochidion daltonii* (Müll. Arg.) Kurz. against some opportunistic bacteria. The screening test of antibacterial activity showed that Lup-20 (29)-ene-3 $\alpha$ , 23-diol could inhibit the growth of *E. coli* ATCC 25922, *P. aeruginosa* ATCC 27853 and *S. marcescens* by MICs of 128-512  $\mu$ M. Moreover, synergistic

\* ผู้ช่วยศาสตราจารย์ ภาควิชาชีววิทยา คณะวิทยาศาสตร์ มหาวิทยาลัยบูรพา

\*\* รองศาสตราจารย์ ภาควิชาเคมี คณะวิทยาศาสตร์ มหาวิทยาลัยบูรพา

\*\*\* นิสิตปริญญาโท ภาควิชาชีววิทยา คณะวิทยาศาสตร์ มหาวิทยาลัยบูรพา

\* Department of Biology, Faculty of Science, Burapha University

\*\* Department of Chemistry, Faculty of Science, Burapha University

\*\*\* Department of Biology, Faculty of Science, Burapha University

effect and time kill assay was tested using Lup-20 (29)-ene-3 $\alpha$ , 23-diol mixed with antibiotics against bacteria. The result revealed that Lup-20 (29)-ene-3 $\alpha$ , 23-diol mixed with tetracycline indicated the best synergistic effect against *P. aeruginosa* ATCC 27853 with the FICI of 0.28. Moreover, the results indicated the indifferent effects against *E. coli* ATCC 25922 when using Lup-20 (29)-ene-3 $\alpha$ , 23-diol, mixed with ampicillin or tetracycline and the result indicated equal FICIs as 1.007. The synergistic time of Lup-20(29)-ene-3 $\alpha$ , 23-diol mixed with tetracycline which killed *P. aeruginosa* ATCC 27853 was at 8<sup>th</sup> hour. The best concentration for killing *P. aeruginosa* ATCC 27853 was 1/16 MIC of MIC alone of tetracycline combined with 1/16 MIC of MIC alone of Lup-20 (29)-ene-3 $\alpha$ , 23-diol. The obtained result in this research indicated that Lup-20 (29)-ene-3 $\alpha$ , 23-diol had an effective synergistic effect when mixed with tetracycline, and indicated synergistic effect against some opportunistic bacteria.

**Keywords :** Lup-20 (29)-ene-3 $\alpha$ , 23-diol, Opportunistic Bacteria, Synergistic effect, Ampicillin and tetracycline

## บทนำ

แบคทีเรียฉวยโอกาสจัดเป็นเชื้อจุลินทรีย์ก่อโรคที่สำคัญในมนุษย์ แต่มักก่อให้เกิดโรคติดเชื้อฉวยโอกาสในผู้ที่มีระบบภูมิคุ้มกันบกพร่อง และเป็นสาเหตุสำคัญของโรคติดเชื้อในโรงพยาบาล (hospital-acquired infection หรือ nosocomial infection) เช่น *Pseudomonas aeruginosa*, *Serratia marcescens* และ *Acinetobacter baumannii* ที่มักก่อโรคติดเชื้อของระบบทางเดินหายใจ ระบบทางเดินปัสสาวะ และการติดเชื้อในกระแสเลือด เป็นต้น ปัจจัยเสี่ยงในการติดเชื้อจุลินทรีย์เหล่านี้ ได้แก่ บาดแผลผ่าตัด การใส่สายสวนหรือเครื่องมือแพทย์เข้าสู่ร่างกาย และการพักรักษาตัวในโรงพยาบาลในระยะเวลายาวนาน<sup>1,2</sup> พบอุบัติการณ์การติดเชื้อสูง เช่น ในปี พ.ศ. 2553 พบการติดเชื้อในโรงพยาบาล 268,628 ครั้ง และพบการติดเชื้อจุลินทรีย์ดื้อยาที่ทำให้ผู้ป่วยเสียชีวิต 38,481 ราย<sup>3</sup> นอกจากนี้เชื้อแบคทีเรียฉวยโอกาสเหล่านี้มักมีการพัฒนาการดื้อยาเพิ่มมากขึ้น ส่งผลให้ประสิทธิภาพของยาที่ใช้รักษาลดน้อยลง หรือต้องเพิ่มปริมาณยาเพื่อใช้รักษา จากปัญหาเหล่านี้จึงจำเป็นต้องพัฒนายาชนิดใหม่ หรือหาทางเลือกใหม่เพื่อรักษาโรคติดเชื้อฉวยโอกาส และมีนักวิจัยมากมายทำการคิดค้นหาสารจากธรรมชาติหรือจากสมุนไพรที่ใช้มาแต่โบราณ และมีประวัติการใช้ที่ปลอดภัย และไม่ได้เป็นสารสังเคราะห์ เพื่อมาใช้ยับยั้งการเจริญของแบคทีเรียและไม่มีผลข้างเคียงต่อผู้ใช้<sup>4,5</sup> ซึ่งมีงานวิจัยมากมายที่นำสารสกัดจากสมุนไพรมาใช้ร่วมกับยาปฏิชีวนะ เช่น Oleanolic acid ร่วมกับยาปฏิชีวนะคานามัยซิน ยับยั้งการเจริญของ *A. baumannii*<sup>6</sup> ยาปฏิชีวนะแวนโคไมซินร่วมกับ Ursolic acid สามารถยับยั้งการเจริญของ *Staphylococcus aureus*<sup>7</sup> เป็นต้น ซึ่งการนำสารบริสุทธิ์ที่ได้จากพืชมาใช้ร่วมกับยาปฏิชีวนะอาจจะช่วยลดค่าใช้จ่ายในการรักษาลง

โคไร (*Glochidion daltonii*) เป็นพืชวงศ์ Euphorbiaceae พบสารฟลาโวนอยด์ ได้แก่ สารกลุ่มแทนนิน ฟลาโวนอยด์ เทอร์พีนอยด์ คาร์ดิแอกโคโลโคไซด์ อัลคาลอยด์ และสารกลุ่ม

Lupane คือ Lup-20 (29)-ene-3 $\alpha$ , 23-diol<sup>8</sup> สารฟลาโวนอยด์จากโคไรบางชนิดมีฤทธิ์ยับยั้งการเจริญของจุลินทรีย์ เช่น *P. aeruginosa*, MRSA, *E. coli*, *Aspergillus fumigates* และ *Candida albicans* (MIC 7.81, 3.9, 0.24, 3.9 และ 0.98  $\mu\text{g/ml}$  ตามลำดับ)<sup>9</sup> และบางรายงานการวิจัยพบว่า Lupane มีฤทธิ์ยับยั้งการเจริญของเชื้อแบคทีเรีย *E. coli*, *P. aeruginosa*, *Bacillus cereus*, *S. aureus*, *Salmonella paratyphi*, *Salmonella typhi*, และ *Klebsiella pneumoniae* เป็นต้น และพบว่าสารบริสุทธิ์ในโคไรหลายชนิดมีประสิทธิภาพในการต้านเชื้อแบคทีเรียเทียบเท่ากับยาปฏิชีวนะแอมพิซิลลิน<sup>10</sup> นอกจากนี้สารบริสุทธิ์จากโคไร เช่น Glochidone และ Lupeol มีฤทธิ์ฆ่าเซลล์มะเร็งเม็ดเลือดและเซลล์มะเร็งปอด<sup>11</sup> หรือ Lupeol ที่พบจากส่วนลำต้นของ *Allanblackia monticola* สามารถลดอาการอักเสบ<sup>12</sup> และที่สำคัญ Lupeol จากมะเดื่อ (*Ficus pseudopalma blanco*) มีฤทธิ์ต้านอนุมูลอิสระ<sup>13</sup> นอกจากนี้ Lupane จากมะเดื่ออุทุมพร (*Ficus racemose*) สามารถต้านอนุมูลอิสระ มีค่า IC<sub>50</sub> อยู่ระหว่าง 4.5-5.8  $\mu\text{g/mL}$ <sup>14</sup> เป็นต้น จากข้อมูลดังกล่าวข้างต้นจะเห็นได้ว่าสารกลุ่ม Lupane นี้มีฤทธิ์ต้านแบคทีเรีย ต้านมะเร็ง ลดการอักเสบ และต้านอนุมูลอิสระ ดังนั้นงานวิจัยนี้จึงมีแนวคิดในการนำ Lup-20 (29)-ene-3 $\alpha$ , 23-diol มาศึกษาฤทธิ์ต้านแบคทีเรียและต้านอนุมูลอิสระ เพราะอาจจะช่วยลดการติดเชื้อจุลินทรีย์และการใช้ยาปฏิชีวนะให้น้อยลง เพราะธรรมชาติของการติดเชื้อแบคทีเรียจะทำให้เซลล์ร่างกายเครียด ทำให้เนื้อเยื่อถูกทำลายจากอนุมูลอิสระ และทำให้เกิดเลือดขาวทำงานผิดปกติ ดังนั้นการลดอนุมูลอิสระร่วมกับการยับยั้งการเจริญของเชื้อแบคทีเรีย อาจจะช่วยลดการทำลายเนื้อเยื่อที่อักเสบ และทำให้เกิดเลือดขาวทำงานปกติ เพิ่มประสิทธิภาพของการยับยั้งการเจริญของจุลินทรีย์ของยาปฏิชีวนะ ก็จะส่งผลให้การรักษาผู้ป่วยติดเชื้อแบคทีเรียมีประสิทธิภาพยิ่งขึ้น<sup>2,4</sup> นอกจากนี้งานวิจัยนี้จึงสนใจที่จะนำ Lup-20 (29)-ene-3 $\alpha$ , 23-diol

มาใช้ร่วมกับยาปฏิชีวนะเพื่อช่วยเสริมฤทธิ์การยับยั้งการเจริญของแบคทีเรียฉวยโอกาส

ดังนั้นวัตถุประสงค์ของงานวิจัยนี้คือการศึกษาฤทธิ์ในการยับยั้งการเจริญของแบคทีเรียและต้านอนุมูลอิสระของ Lup-20 (29)-ene-3 $\alpha$ , 23-diol ที่ได้จากต้นไคร้ และศึกษาการเสริมฤทธิ์ของ Lup-20 (29)-ene-3 $\alpha$ , 23-diol ร่วมกับยาปฏิชีวนะในการยับยั้งการเจริญของแบคทีเรียฉวยโอกาส ซึ่งผลการศึกษานี้อาจเป็นแนวทางในการนำสารบริสุทธิ์จากสมุนไพรมาใช้แทนยาปฏิชีวนะ และเพื่อศึกษากลไกการออกฤทธิ์ของ Lup-20 (29)-ene-3 $\alpha$ , 23-diol ส่งผลให้สามารถลดการนำเข้ายาปฏิชีวนะจากต่างประเทศ เพิ่มมูลค่าให้สมุนไพรไทย และพิสูจน์ให้เห็นว่าสารบริสุทธิ์จากสมุนไพรสามารถเสริมฤทธิ์กับยาปฏิชีวนะเพื่อยับยั้งการเจริญของแบคทีเรียได้

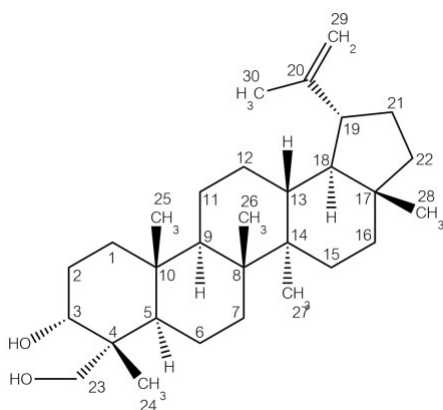
### วิธีการศึกษาและวัสดุอุปกรณ์

#### เชื้อแบคทีเรีย

เชื้อ *P. aeruginosa* สายพันธุ์ตัวยาปฏิชีวนะ (รหัส 1-375/04-2013) ได้รับความอนุเคราะห์จากโรงพยาบาลชลบุรี แบคทีเรียแกรมลบและแกรมบวกชนิดอื่น ๆ เช่น *E. coli* ATCC 25922, Methicillin-Resistant *Staphylococcus aureus* (MRSA), *P. aeruginosa* ATCC 27853, *S. marcescens* และ *S. aureus* ได้รับความอนุเคราะห์จากภาควิชาจุลชีววิทยา คณะวิทยาศาสตร์ มหาวิทยาลัยบูรพา

#### สูตรโครงสร้างของ Lup-20 (29)-ene-3 $\alpha$ , 23-diol

Lup-20 (29)-ene-3 $\alpha$ , 23-diol แยกได้จากส่วนสกัดหยาบเขกเซนของลำต้นไคร้ (*Glochidion daltonii* (Müll. Arg.) Kurz.) (รหัสพรรณไม้ BKF147874) ที่เก็บมาจากจังหวัดสุราษฎร์ธานี ได้รับความอนุเคราะห์จากภาควิชาเคมี คณะวิทยาศาสตร์ มหาวิทยาลัยบูรพา โดยพิสูจน์สูตรโครงสร้างของสารบริสุทธิ์ด้วยวิธีนิวเคลียร์แมกเนติกเรโซแนนซ์สเปกโตรสโคปี ซึ่งมีสูตรโครงสร้างดังภาพที่ 1<sup>8</sup>



ภาพที่ 1 สูตรโครงสร้างของ Lup-20(29)-ene-3 $\alpha$ , 23-diol

### การศึกษาฤทธิ์ต้านอนุมูลอิสระ

1.1 ฤทธิ์ต้านอนุมูลอิสระด้วยวิธี DPPH เตรียมสารตัวอย่างความเข้มข้นที่เหมาะสม เช่น 1-10  $\mu\text{g/mL}$  ในเมทานอล ผสมกับสารละลาย DPPH radical ในเมทานอลความเข้มข้น 0.2 mM เขย่าให้เข้ากันและตั้งทิ้งไว้ในที่มืดประมาณ 30 นาที นำไปวัดค่าดูดกลืนแสงที่ความยาวคลื่น 517 nm (ทดสอบ 3 ซ้ำ) ใช้สาร Butylated hydroxytoluene (BHT) เป็นสารควบคุม จากนั้นทำการคำนวณ % radical scavenging และคำนวณค่า  $\text{IC}_{50}$  จากผลการทดลองที่ได้โดยคำนวณ % radical scavenging ดังวิธีของ Mokbel and Hashinaga<sup>15</sup>

1.2 ฤทธิ์ต้านอนุมูลอิสระด้วยวิธี FRAP นำสารตัวอย่างความเข้มข้น 100 ppm ในเอทานอล มาผสมกับ FRAP reagent 300 mM เขย่าให้เข้ากัน และตั้งทิ้งไว้เป็นเวลา 4 นาที นำไปวัดค่าดูดกลืนแสงที่ความยาวคลื่น 593 nm (ทดสอบ 3 ซ้ำ) เปรียบเทียบกับ BHT คำนวณค่าดูดกลืนแสงตามวิธีของ Mokbel and Hashinaga<sup>15</sup>

### การศึกษาฤทธิ์ในการยับยั้งการเจริญของแบคทีเรียโดยวิธี Agar Diffusion Susceptibility Test

นำเชื้อแบคทีเรียทดสอบ คือ *E. coli* ATCC 25922, *P. aeruginosa* ATCC 27853, *S. marcescens*, *S. aureus* และ MRSA มาเทียบความขุ่นกับ McFarland No. 0.5 ( $1.5 \times 10^8$  CFU/ml) ปริมาตร 1 mL ผสมกับอาหารเลี้ยงเชื้อ Mueller Hinton Agar (MHA, Becton Dickinson, USA) 19 mL เทใส่จานเพาะเชื้อ จากนั้นจะหุ้มในอาหารเลี้ยงเชื้อขนาดเส้นผ่าศูนย์กลาง 0.6 cm เพื่อใส่สารทดสอบคือ Lup-20 (29)-ene-3 $\alpha$ , 23-diol ที่มีความเข้มข้นลดลงสองเท่า คือ 2-2048  $\mu\text{M}$  ตามลำดับ หยอดลงในหลุมที่เจาะไว้ปริมาตร 40  $\mu\text{L}$  ในการทดลองนี้ใช้ Dimethyl sulfoxide (DMSO) และน้ำกลั่นปราศจากเชื้อปริมาตรเท่ากันเป็นชุดควบคุม แล้วนำ MHA ที่ผสมเชื้อและสารทดสอบไปบ่มที่อุณหภูมิ 37 $^{\circ}\text{C}$  เป็นเวลา 18-24 ชั่วโมง ทำการทดสอบกับ Lup-20 (29)-ene-3 $\alpha$ , 23-diol เปรียบเทียบกับยาปฏิชีวนะแอมพิซิลลินและเตตราไซคลิน (2-2048  $\mu\text{M}$ ) จากนั้นนำผลการทดสอบมาวัดขนาดเส้นผ่าศูนย์กลางบริเวณที่ถูกยับยั้ง (Inhibition zone) เป็นเซนติเมตร นำไปบันทึกผลการทดลอง และหาค่าเฉลี่ย ค่าเบี่ยงเบนมาตรฐานแล้วนำมาหาค่าความเข้มข้นของสารทดสอบที่ต่ำสุดในการยับยั้งการเจริญของเชื้อ หรือ MIC<sup>16</sup>

### การศึกษาการเสริมฤทธิ์ของ Lup-20 (29)-ene-3 $\alpha$ , 23-diol ร่วมกับยาปฏิชีวนะ (Synergistic effect)

การเตรียมเชื้อแบคทีเรีย ทำเช่นเดียวกับการทดลองหา

ค่า MIC แต่เดิม Lup-20 (29)-ene-3 $\alpha$ , 23-diol ที่ความเข้มข้นต่าง ๆ (2-2048  $\mu$ M) ที่ผสมกับยาปฏิชีวนะแอมพิซิลลินและเตตราซัยคลิน ปริมาตรอย่างละ 20  $\mu$ L โดยวางแผนการผสม Lup-20 (29)-ene-3 $\alpha$ , 23-diol กับยาปฏิชีวนะด้วย Checkerboard assay<sup>17</sup> โดยใช้ น้ำกลั่นปราศจากเชื้อ และ DMSO เพื่อเป็นชุดตัวควบคุม จากนั้นนำอาหารเลี้ยงเชื้อ MHA ไปบ่มที่อุณหภูมิ 37 °C เป็นเวลา 18-24 ชั่วโมง บันทึกผลการทดลอง

และหาค่าเฉลี่ย ค่าเบี่ยงเบนมาตรฐาน แล้วนำมาหาค่า MIC Combination และดัชนีชี้วัดประสิทธิภาพร่วม Fractional Inhibitory Concentration Indices (FICI)

ค่าดัชนีชี้วัดประสิทธิภาพร่วม FICI (Fractional Inhibitory Concentration Index) คือ ค่าประสิทธิภาพร่วมเมื่อใช้ Lup-20 (29)-ene-3 $\alpha$ , 23-diol ร่วมกับยาปฏิชีวนะแปลผลทดสอบดังตารางที่ 1<sup>17</sup>

**ตารางที่ 1** การแปลผลดัชนีชี้วัดประสิทธิภาพร่วม FICI

ค่า FICI	การแปลผล
FICI $\leq$ 0.5	เสริมฤทธิ์กัน (Synergistic)
0.5 < FICI < 1	เสริมฤทธิ์กันบางส่วน (Partially synergistic)
FICI = 1	มีแนวโน้มเสริมฤทธิ์ (Additive)
1 < FICI $\leq$ 4	ฤทธิ์ไม่แตกต่างจากการใช้สารตัวเดียว (Indifferent)
FICI > 4	ต้านฤทธิ์กัน (Antagonistic)

**การศึกษาผลของ Lup-20 (29)-ene-3 $\alpha$ , 23-diol ผสมยาปฏิชีวนะในการยับยั้งการเจริญของเชื้อแบคทีเรียทดสอบต่อหน่วยเวลา (Time-Kill Curve Assay)**

นำเชื้อแบคทีเรียมาเทียบความขุ่นกับ McFarland No. 0.5 (1.5x10<sup>8</sup> CFU/ml) ปริมาตร 100  $\mu$ L เติมนำอาหาร Mueller Hinton Broth (MHB) ปริมาตร 2.8 mL และเติม Lup-20 (29)-ene-3 $\alpha$ , 23-diol และยาปฏิชีวนะรวม 100  $\mu$ L (ปริมาตรรวมเท่ากับ 3 mL) การศึกษา Growth curve นี้จะใช้ Lup-20 (29)-ene-3 $\alpha$ , 23-diol ปริมาตร 50  $\mu$ L ผสมสารทดสอบ 50  $\mu$ L จากนั้นผสมสารทั้งหมดให้เข้ากัน แล้วนำมาทดสอบเปรียบเทียบกับชุดควบคุมที่ใส่เชื้อแบคทีเรียกับน้ำกลั่นปราศจากเชื้อ หรือชุดที่ผสมแบคทีเรียกับ Lup-20 (29)-ene-3 $\alpha$ , 23-diol หรือยาปฏิชีวนะเพียงชนิดเดียว จากนั้นนำส่วนผสมทั้งหมดไปบ่มที่อุณหภูมิ 37 °C เก็บตัวอย่างเชื้อในชั่วโมงที่ 0, 2, 4, 6, 8, 10, 24 และ 48 ตามลำดับ เพื่อมานับจำนวนแบคทีเรียที่รอดชีวิต โดยการเจือจางตัวอย่างเชื้อให้มีจำนวนลดลง 10 เท่า (Serial Dilution 1:10) ด้วย NaCl 0.85 % (sterile 0.85 normal saline) จากนั้นนำเชื้อที่เจือจางแล้วมา Spread Plate บนอาหาร Nutrient agar (NA) แล้วนำไปบ่มที่อุณหภูมิ 37 °C เป็นเวลา 18-24 ชั่วโมง เพื่อนับจำนวนแบคทีเรียที่รอดชีวิต นำจำนวนแบคทีเรียที่รอดชีวิตไปสร้างกราฟความสัมพันธ์ระหว่างเวลาและค่า log10 จำนวนเซลล์ (CFU/ml) แล้วนำมาหาค่าประสิทธิภาพของการยับยั้งการเจริญของแบคทีเรีย (The effectiveness antibacterial activity; EAA)<sup>18</sup>

$$\% \text{EAA} = \frac{N_0 - N_s}{N_0} \times 100$$

EAA = ประสิทธิภาพของการยับยั้งการเจริญของแบคทีเรีย  
 N<sub>0</sub> = จำนวนแบคทีเรียของชุดควบคุม (log10 CFU/ml)  
 N<sub>s</sub> = จำนวนแบคทีเรียของชุดทดลอง (log10 CFU/ml)

**การวิเคราะห์ข้อมูลทางสถิติ**

วิเคราะห์ข้อมูลทางสถิติด้วยโปรแกรม Minitab V.17 เปรียบเทียบค่าความเข้มข้นของสารทดสอบ Lup-20 (29)-ene-3 $\alpha$ , 23-diol กับค่าเฉลี่ยของ Inhibition Zone ด้วยการวิเคราะห์ความแปรปรวนแบบทิศทางเดียว (one way ANOVA) และวิเคราะห์ประสิทธิภาพ การออกฤทธิ์ร่วมกันของสารทดสอบและยาปฏิชีวนะด้วยแฟคทอเรียลในแผนแบบสุ่มในบล็อกสมบูรณ์ (Factorial Experiment in a Randomized Complete Block Design)

**ผลการศึกษา**

**การศึกษาฤทธิ์ต้านอนุมูลอิสระ**

การทดสอบฤทธิ์ในการกำจัดอนุมูล DPPH ของ Lup-20 (29)-ene-3 $\alpha$ , 23-diol พบว่า ฤทธิ์ในการกำจัดอนุมูล DPPH เพิ่มขึ้นเล็กน้อยตามความเข้มข้นของ Lup-20 (29)-ene-3 $\alpha$ , 23-diol โดยมีเปอร์เซ็นต์การกำจัดอนุมูล DPPH อยู่ในช่วง 35.30-37.98 % (ในช่วงความเข้มข้น 0.3125-10  $\mu$ g/mL) และสามารถกำจัดอนุมูล DPPH สูงสุด เท่ากับ

37.98 % ที่ความเข้มข้นของสารทดสอบเท่ากับ 5 µg/mL และพบว่า Lup-20 (29)-ene-3α, 23-diol ให้ค่ากำจัดอนุภาคต่ำกว่าสารมาตรฐาน (BHT มีค่า IC<sub>50</sub> เท่ากับ 0.0023 mg/mL) และเมื่อวิเคราะห์ความสามารถในการให้อิเล็กตรอนของ Lup-20 (29)-ene-3α, 23-diol พบว่า สามารถรีดิวซ์ไอออนเหล็ก (Fe<sup>3+</sup>) ได้เล็กน้อย โดยมีค่า FRAP value เท่ากับ 0.78 ± 0.31 มิลลิกรัมของเฟอร์รัสซัลเฟตต่อกรัมของสารทดสอบ ดังนั้นจะเห็นได้ว่าสารทดสอบ Lup-20 (29)-ene-3α, 23-diol มีประสิทธิภาพในการกำจัดอนุภาคที่ต่ำกว่าสารมาตรฐานคือ BHT (15.43 มิลลิกรัมของเฟอร์รัสซัลเฟตต่อกรัมของ BHT)

### การศึกษาฤทธิ์ในการยับยั้งการเจริญของแบคทีเรียโดยวิธี Agar Diffusion Susceptibility Test

การศึกษาฤทธิ์ในการยับยั้งการเจริญของแบคทีเรียฉวยโอกาสเบื้องต้นของสารทดสอบ Lup-20 (29)-ene-3α, 23-diol

พบว่า Lup-20 (29)-ene-3α, 23-diol มีประสิทธิภาพในการยับยั้งการเจริญของแบคทีเรียแกรมลบคือ *S. marcescens* ได้ดีที่สุด (MIC เท่ากับ 128 µM) ยับยั้งการเจริญของ *E. coli* ATCC 25922 และ *P. aeruginosa* ATCC 27853 ได้ดีรองลงมา (MIC เท่ากับ 512 µM) แต่ไม่สามารถยับยั้งการเจริญของ *P. aeruginosa* สายพันธุ์ที่ดื้อยาปฏิชีวนะ และพบว่า Lup-20 (29)-ene-3α, 23-diol ไม่สามารถยับยั้งการเจริญของเชื้อแบคทีเรียแกรมบวกคือ *S. aureus* และ MRSA แสดงดังตารางที่ 2 และจากการศึกษาความสัมพันธ์ระหว่างความเข้มข้นของ Lup-20 (29)-ene-3α, 23-diol กับขนาดเส้นผ่าศูนย์กลางบริเวณที่ถูกยับยั้ง (Inhibition zone) ของแบคทีเรียฉวยโอกาสทั้ง 6 สายพันธุ์ พบว่าความเข้มข้นของ Lup-20 (29)-ene-3α, 23-diol สูงขึ้น ให้ค่าขนาดเส้นผ่าศูนย์กลางบริเวณที่ถูกยับยั้งสูงขึ้นอย่างมีนัยสำคัญทางสถิติ ( $p < 0.05$ ) (ไม่ได้แสดงผล)

**ตารางที่ 2** การเปรียบเทียบประสิทธิภาพของ Lup-20 (29)-ene-3α, 23-diol ที่ความเข้มข้นต่าง ๆ และยาปฏิชีวนะต่อการยับยั้งการเจริญของเชื้อแบคทีเรียฉวยโอกาสทั้ง 6 สายพันธุ์

กลุ่มแบคทีเรีย	ค่า MIC (µM)			
	สายพันธุ์แบคทีเรีย	Lup-20 (29)-ene-3α, 23-diol	ยา แอมพิซิลลิน	ยาเตตราซัยคลิน
แกรมลบ	<i>E. coli</i>	512	32	16
	ATCC 25922			
	<i>P. aeruginosa</i>	512	64	64
	ATCC 27853			
	<i>P. aeruginosa</i>	>2048	>2048	>2048
	สายพันธุ์ที่ดื้อยา ปฏิชีวนะ			
	<i>S. marcescens</i>	128	64	64
แกรมบวก	<i>S. aureus</i>	>2048	64	64
	MRSA	>2048	64	64

### การศึกษาการเสริมฤทธิ์ของ Lup-20 (29)-ene-3α, 23-diol ร่วมกับยาปฏิชีวนะในการยับยั้งการเจริญของเชื้อแบคทีเรีย

จากการศึกษาฤทธิ์ในการยับยั้งการเจริญของแบคทีเรียพบว่า Lup-20 (29)-ene-3α, 23-diol สามารถยับยั้งการเจริญของแบคทีเรีย 3 สายพันธุ์ได้แก่ *E. coli* ATCC 25922, *P. aeruginosa* ATCC 27853 และ *S. marcescens* ดังนั้นจึง

นำแบคทีเรียทั้ง 3 สายพันธุ์นี้ไปทดสอบการเสริมฤทธิ์ และผลการออกฤทธิ์แสดงให้เห็นว่าสารทดสอบ Lup-20 (29)-ene-3α, 23-diol สามารถเสริมฤทธิ์ร่วมกับยาปฏิชีวนะเตตราซัยคลินได้ดีที่สุดในการยับยั้งการเจริญของเชื้อ *P. aeruginosa* ATCC 27853 มีค่า FICI = 0.28 (ตารางที่ 3) แต่เมื่อใช้ร่วมกับยาปฏิชีวนะแอมพิซิลลินจะไม่สามารถยับยั้งการเจริญของเชื้อ (ไม่สามารถนำมาหาค่า MIC Combination แสดงดัง

ตารางที่ 2) และยังแสดงให้เห็นว่าเมื่อใช้ Lup-20 (29)-ene-3 $\alpha$ , 23-diol ร่วมกับยาปฏิชีวนะแอมพิซิลลิน หรือใช้ Lup-20 (29)-ene-3 $\alpha$ , 23-diol ร่วมกับยาปฏิชีวนะเตตราซัยคลิน เพื่อยับยั้งการเจริญของ *E. coli* ATCC 25922 จะแสดงผลที่ไม่แตกต่างจากการใช้ Lup-20 (29)-ene-3 $\alpha$ , 23-diol หรือยาปฏิชีวนะเพียงชนิดเดียว (แสดงค่า FICI เท่ากันคือ 1.007) และ Lup-20 (29)-ene-3 $\alpha$ , 23-diol เมื่อใช้ร่วมกับยาปฏิชีวนะเตตราซัยคลิน จะแสดงผลไม่แตกต่างกับการใช้ Lup-20 (29)-ene-3 $\alpha$ , 23-diol หรือยาปฏิชีวนะเตตราซัยคลินเพียงชนิดเดียวในการยับยั้งการเจริญเชื้อ *S. marcescens* (แสดงค่า FICI = 2.125) (ตารางที่ 3)

อย่างไรก็ตามพบการต้านฤทธิ์กันของ Lup-20 (29)-ene-3 $\alpha$ , 23-diol กับยาปฏิชีวนะแอมพิซิลลินในการยับยั้งการเจริญของเชื้อ *S. marcescens* (ค่า FICI = 4.125) และพบข้อสังเกตจากการใช้ยาปฏิชีวนะร่วมกับ Lup-20 (29)-ene-3 $\alpha$ , 23-diol สามารถลดปริมาณการใช้ Lup-20 (29)-ene-3 $\alpha$ , 23-diol ให้ลดลง 1/16 ถึง 1/128 เท่าของค่า MIC เดิมของ Lup-20 (29)-ene-3 $\alpha$ , 23-diol (ตารางที่ 4) แต่ Lup-20 (29)-ene-3 $\alpha$ , 23-diol กลับไม่ได้ช่วยลดปริมาณการใช้ยาปฏิชีวนะทั้งสองชนิด ดังแสดงในตารางที่ 4

**ตารางที่ 3** เปรียบเทียบการออกฤทธิ์ร่วมกันระหว่าง Lup-20 (29)-ene-3 $\alpha$ , 23-diol กับยาปฏิชีวนะแอมพิซิลลินและเตตราซัยคลินในการยับยั้งการเจริญของแบคทีเรียแกรมลบจวยโอกาส

สายพันธุ์แบคทีเรีย Lup-20 (29)-ene-3 $\alpha$ , 23-diol + ยาแอมพิซิลลิน		Lup-20 (29)-ene-3 $\alpha$ , 23-diol + ยาเตตราซัยคลิน	
ค่า FICI	แปลผล	ค่า FICI	แปลผล
<i>E. coli</i> ATCC 25922	1.007 ฤทธิ์ไม่แตกต่างจากการใช้สารตัวเดียว	1.007	ฤทธิ์ไม่แตกต่างจากการใช้สารตัวเดียว
<i>P. aeruginosa</i> ATCC 27853	-	0.28	เสริมฤทธิ์กัน
<i>S. marcescens</i>	4.125 ต้านฤทธิ์กัน	2.125	ฤทธิ์ไม่แตกต่างจากการใช้สารตัวเดียว

**ตารางที่ 4** เปรียบเทียบประสิทธิภาพของการออกฤทธิ์ร่วมกันของ Lup-20 (29)-ene-3 $\alpha$ , 23-diol จากโคไร์ และยาปฏิชีวนะเมื่อใช้ยาปฏิชีวนะชนิดเดียว

ยาปฏิชีวนะ	MIC <sub>Co</sub> / MIC <sub>alone</sub>	
	Lup-20 (29)-ene-3 $\alpha$ , 23-diol	ยาปฏิชีวนะ
<i>E. coli</i> ATCC 25922		
แอมพิซิลลิน	4/152	32/32
เตตราซัยคลิน	4/152	16/16
<i>P. aeruginosa</i> ATCC 27853		
แอมพิซิลลิน	-	-
เตตราซัยคลิน	16/152	16/64
<i>S. marcescens</i>		
แอมพิซิลลิน	16/128	256/64
เตตราซัยคลิน	16/128	128/64

MIC<sub>Co</sub> หมายถึง ค่า MIC ของการออกฤทธิ์ร่วมกันของสารทดสอบกับยาปฏิชีวนะ

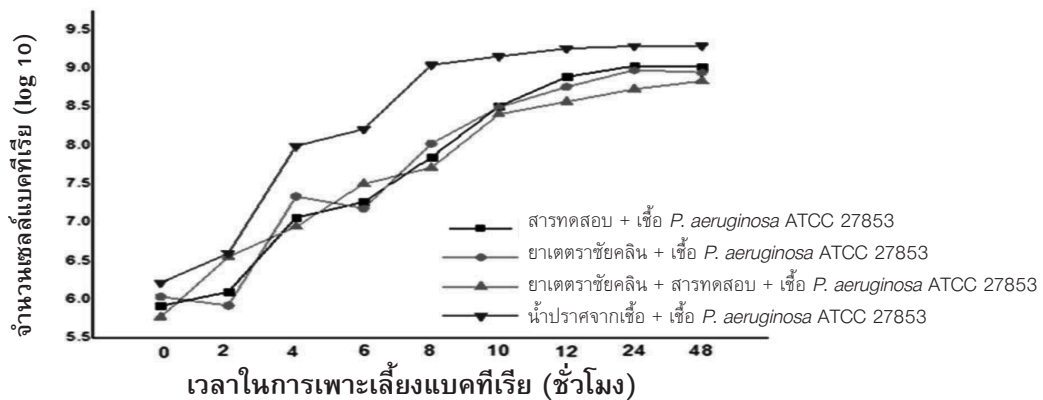
MIC<sub>alone</sub> หมายถึง ค่า MIC ของการออกฤทธิ์ของสารทดสอบ

- หมายถึง ไม่สามารถหาสัดส่วนได้ เนื่องจากไม่มีค่า MIC

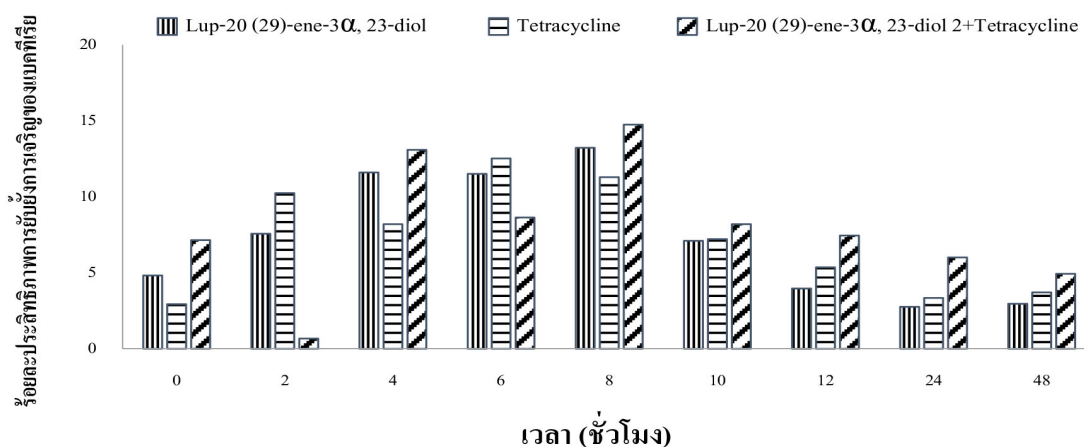
### การศึกษาการยับยั้งการเจริญของเชื้อแบคทีเรียเมื่อใช้ Lup-20 (29)-ene-3 $\alpha$ , 23-diol ร่วมกับยาปฏิชีวนะเตตราซัยคลินต่อหน่วยเวลา

สารทดสอบ Lup-20 (29)-ene-3 $\alpha$ , 23-diol และยาปฏิชีวนะเตตราซัยคลิน เสริมฤทธิ์กันได้ดีที่สุดในการยับยั้งการเจริญของเชื้อ *P. aeruginosa* ATCC 27853 ดังนั้นผู้วิจัยจึงนำ Lup-20 (29)-ene-3 $\alpha$ , 23-diol และยาปฏิชีวนะเตตราซัยคลิน ที่ความเข้มข้นน้อยที่สุดมาผสมกัน เพื่อหาจุดเวลาที่เหมาะสมที่ทำให้ Lup-20 (29)-ene-3 $\alpha$ , 23-diol และเตตราซัยคลิน ยังคงออกฤทธิ์ร่วมกันได้ดีที่สุด ทั้งนี้เพื่อลดปริมาณการใช้ยาปฏิชีวนะ ซึ่งได้เลือกใช้ยาเตตราซัยคลินที่ความเข้มข้น 4  $\mu$ M (1/16 เท่าของ MIC ของยา) ผสมกับ Lup-20 (29)-ene-3 $\alpha$ , 23-diol ที่ความเข้มข้น 32  $\mu$ M (1/16 เท่าของ MIC ของสาร) ในการทดสอบของเตตราซัยคลินและ Lup-20 (29)-ene-3 $\alpha$ , 23-diol

ผลการทดสอบพบว่าเมื่อใช้ Lup-20 (29)-ene-3 $\alpha$ , 23-diol ร่วมกับยาปฏิชีวนะเตตราซัยคลิน พบว่าสารทดสอบนี้ไม่ได้ช่วยลดระยะเวลาในการออกฤทธิ์ของยาปฏิชีวนะเตตราซัยคลินให้เร็วยิ่งขึ้นเพื่อยับยั้งการเจริญของเชื้อ *P. aeruginosa* ATCC 27853 (ออกฤทธิ์ได้ดีที่สุด ที่ชั่วโมงที่ 8) (ภาพที่ 2) และพบว่าสามารถยับยั้งการเจริญของเชื้อได้ดีกว่าการใช้ยาปฏิชีวนะในชั่วโมงที่ 2 และ 6 แต่เมื่อใช้ร่วมกันแล้วสามารถเพิ่มประสิทธิภาพการยับยั้งการเจริญของเชื้อ *P. aeruginosa* ATCC 27853 และสามารถยับยั้งการเจริญได้ดีขึ้นไปเรื่อย ๆ และยับยั้งได้ดีกว่าการใช้ยาปฏิชีวนะเตตราซัยคลินเพียงชนิดเดียวในช่วงเริ่มต้นของระยะ log phase (ชั่วโมงที่ 4-8) (ภาพที่ 2-3) อย่างไรก็ตามประสิทธิภาพของการออกฤทธิ์ร่วมกันต่ำกว่า 50% (ภาพที่ 3) ดังนั้นงานวิจัยนี้จึงแสดงให้เห็นว่า Lup-20 (29)-ene-3 $\alpha$ , 23-diol สามารถเสริมฤทธิ์กับยาปฏิชีวนะเตตราซัยคลิน



ภาพที่ 2 ผลของสาร Lup 20 (29)-ene-3 $\alpha$ , 23-diol จากโคไร ร่วมกับยาปฏิชีวนะเตตราซัยคลินในการยับยั้งการเจริญของ *P. aeruginosa* ATCC 27853 ต่อหน่วยเวลา



ภาพที่ 3 เปรียบเทียบร้อยละของประสิทธิภาพของ Lup-20 (29)-ene-3 $\alpha$ , 23-diol ร่วมกับยาปฏิชีวนะเตตราซัยคลินในการยับยั้งการเจริญของ *P. aeruginosa* ATCC 27853

## วิจารณ์

งานวิจัยนี้แสดงให้เห็นว่าสาร Lup-20 (29)-ene-3 $\alpha$ , 23-diol จากไคร้ มีฤทธิ์ต้านอนุมูลอิสระที่ต่ำกว่าสารมาตรฐานคือ BHT ซึ่งสอดคล้องกับงานวิจัยที่ศึกษาการต้านอนุมูลอิสระของ Lupane ชนิดอื่น ๆ เช่น Lupeol จากมะเดื่อ (*Ficus pseudopalma blanco*)<sup>13</sup> และสอดคล้องกับงานวิจัยที่ทดสอบฤทธิ์ต้านอนุมูลอิสระของ Lupane จากมะเดื่ออุทุมพร (*Ficus racemose*) (ค่า IC<sub>50</sub> อยู่ระหว่าง 4.5-5.8  $\mu\text{g}/\text{mL}$ ) แต่ Lup-20 (29)-ene-3 $\alpha$ , 23-diol จากไคร้ มีฤทธิ์ต้านอนุมูลอิสระที่ต่ำกว่า<sup>14</sup> อย่างไรก็ตามแม้จะมีฤทธิ์ที่น้อยกว่าแต่อาจจะช่วยให้ลดความรุนแรงของการอักเสบในขณะติดเชื้อแบคทีเรียได้

การศึกษาฤทธิ์ในการยับยั้งการเจริญของแบคทีเรียแสดงให้เห็นว่า Lup-20 (29)-ene-3 $\alpha$ , 23-diol สามารถยับยั้งการเจริญของเชื้อบางสายพันธุ์ คือ *E. coli* ATCC 25922, *S. marcescens* และ *P. aeruginosa* ATCC 27853 ให้ค่า MIC ที่ต่ำกว่า (56.6-226.3  $\mu\text{g}/\text{mL}$ ) และให้ผลการยับยั้งที่ต่ำกว่า Lupane ที่สกัดได้จากผลของ *Acokanthera oppositifolia* ซึ่งมีฤทธิ์ในการยับยั้งการเจริญของเชื้อ *P. aeruginosa*, MRSA และ *E. coli* (MIC เท่ากับ 7.81, 3.9 และ 0.24  $\mu\text{g}/\text{mL}$ )<sup>9</sup> และที่สำคัญคือ Lup-20 (29)-ene-3 $\alpha$ , 23-diol สามารถยับยั้งการเจริญของเชื้อ *P. aeruginosa* ATCC 27853 แต่ยังไม่ทราบกลไกการออกฤทธิ์ เช่น อาจจะยับยั้งการคลายเกลียว DNA ของแบคทีเรีย<sup>19</sup> หรือทำให้ DNA ของแบคทีเรียแตกหัก หรือยับยั้งการสังเคราะห์ Macromolecular ของแบคทีเรีย<sup>20</sup> ซึ่งต้องทำการศึกษาต่อไป

สาร Lup-20 (29)-ene-3 $\alpha$ , 23-diol สามารถเสริมฤทธิ์กับยาปฏิชีวนะเตตราไซคลินได้ดีกว่าการเสริมฤทธิ์กับยาปฏิชีวนะแอมพิซิลลิน และสามารถเสริมฤทธิ์เพื่อยับยั้งการเจริญของเชื้อ *P. aeruginosa* ATCC 27853 (ค่า FICI เท่ากับ 0.28) ซึ่งเป็นแบคทีเรียที่ทำให้เกิดการติดเชื้อในโรงพยาบาลสูงมาก และมีอัตราการดื้อยาสูงเช่นกัน อาจเป็นเพราะสาร Lup-20 (29)-ene-3 $\alpha$ , 23-diol ส่งเสริมให้ยาปฏิชีวนะเตตราไซคลินมีประสิทธิภาพดียิ่งขึ้น เช่น เสริมฤทธิ์กันทำลายเยื่อหุ้มเซลล์ ส่งผลให้เซลล์แบคทีเรียมีความไวในการตอบสนองต่อยามากขึ้น<sup>11</sup> หรือเสริมฤทธิ์กันเปลี่ยนแปลงโครงสร้างของเยื่อหุ้มเซลล์ของแบคทีเรีย ทำให้ง่ายต่อการนำเข้ายา หรือช่วยนำยาเตตราไซคลินเข้าเซลล์แบคทีเรีย หรือยับยั้งการสร้างเอนไซม์ทำลายยาปฏิชีวนะที่แบคทีเรียสร้างขึ้น<sup>18</sup> หรือเสริมฤทธิ์กันไปขัดขวางการสังเคราะห์ผนังเซลล์และยับยั้งการสังเคราะห์ DNA<sup>20</sup> อย่างไรก็ตามจะเห็นได้ว่าสาร Lup-20 (29)-ene-3 $\alpha$ , 23-diol ด้านฤทธิ์กับยาปฏิชีวนะแอมพิซิลลิน ซึ่งอาจเกิดจากสาร Lup-20 (29)-ene-3 $\alpha$ , 23-diol เข้าไปล้างฤทธิ์ของยาปฏิชีวนะแอมพิ

ซิลลินในการยับยั้งการสร้างผนังเซลล์ของแบคทีเรีย<sup>1</sup>

จากการศึกษา Time-kill Curve assay ของ Lup-20 (29)-ene-3 $\alpha$ , 23-diol เมื่อใช้ร่วมกับยาปฏิชีวนะเตตราไซคลิน กลับพบว่า การใช้ร่วมกับสาร Lup-20 (29)-ene-3 $\alpha$ , 23-diol ไม่ได้ช่วยลดระยะเวลาการออกฤทธิ์ของยาปฏิชีวนะเตตราไซคลิน แต่ไปช่วยเพิ่มประสิทธิภาพการยับยั้งการเจริญของเชื้อ *P. aeruginosa* ATCC 27853 ได้ดีขึ้น และสาร Lup-20 (29)-ene-3 $\alpha$ , 23-diol ทำให้การออกฤทธิ์ยับยั้งแบคทีเรียได้ยาวนานขึ้น ตั้งแต่ชั่วโมงที่ 4-48 (ให้ค่า EAA สูงขึ้น) และพบข้อสังเกตคือในชั่วโมงที่ 2 และ 6 การออกฤทธิ์ของยาปฏิชีวนะเตตราไซคลินร่วมกับ Lup-20 (29)-ene-3 $\alpha$ , 23-diol กลับทำให้ประสิทธิภาพการยับยั้งการเจริญต่ำลง อาจเป็นเพราะเชื้อ *P. aeruginosa* ATCC 27853 กำลังอยู่ในระยะที่ปรับตัวเพื่อต่ออายุปฏิชีวนะเตตราไซคลิน ทำให้ประสิทธิภาพการยับยั้งเชื่อนี้ลดต่ำลงและไม่คงที่

การศึกษาการเสริมฤทธิ์กันของสาร Lup-20 (29)-ene-3 $\alpha$ , 23-diol กับยาปฏิชีวนะในครั้งนี้อาจจะเป็นจุดเริ่มต้นของการศึกษากลไกการยับยั้งการเจริญของแบคทีเรียของสารกลุ่ม Lupane โดยการนำข้อมูลที่ได้จากการศึกษานี้มาใช้ในการศึกษาเชิงโมเลกุลขณะที่แบคทีเรียยังมีชีวิตอยู่ เช่น สาร Lup-20 (29)-ene-3 $\alpha$ , 23-diol อาจจะส่งเสริมการนำยาปฏิชีวนะเข้าสู่เซลล์ของแบคทีเรียได้ดียิ่งขึ้น (ด้วยเทคนิค Flow cytometry) การศึกษาในครั้งนี้แสดงให้เห็นว่าสาร Lup-20 (29)-ene-3 $\alpha$ , 23-diol สามารถเสริมฤทธิ์การทำงานของยาปฏิชีวนะ และช่วยเพิ่มประสิทธิภาพในการรักษาโรคติดเชื้อแบคทีเรียฉวยโอกาสได้ในอนาคต และสารกลุ่ม Lupane อาจจะช่วยลดปริมาณการใช้ยาปฏิชีวนะ เพื่อลดผลข้างเคียงของการใช้ยาปฏิชีวนะ อย่างไรก็ตามในการเลือกใช้สาร Lup-20 (29)-ene-3 $\alpha$ , 23-diol ในปริมาณที่สูงอาจต้องคำนึงถึงความเป็นพิษเช่นกัน

ดังนั้นผลที่ได้จากงานวิจัยนี้แสดงให้เห็นว่าการนำสารบริสุทธิ์ที่ได้จากสมุนไพรมาใช้ยับยั้งการเจริญของแบคทีเรียร่วมกับฤทธิ์ต้านอนุมูลอิสระ อาจจะช่วยรักษาโรคติดเชื้อแบคทีเรียฉวยโอกาสให้เห็นผลได้เร็วยิ่งขึ้น และอาจจะช่วยลดอุบัติการณ์การดื้อยาปฏิชีวนะของแบคทีเรียในผู้ป่วยที่ได้รับการรักษาด้วยยาปฏิชีวนะเป็นเวลายาวนาน และเป็นการศึกษาเบื้องต้น เพื่อนำไปสู่การนำสารบริสุทธิ์จากสมุนไพรใช้ร่วมกับยาปฏิชีวนะในอนาคต ทั้งนี้อาจช่วยลดการนำเข้ายาจากต่างประเทศที่มีราคาแพง หรืออาจนำสาร Lup-20 (29)-ene-3 $\alpha$ , 23-diol ไปใช้เป็นส่วนผสมในเวชสำอางหรือผลิตภัณฑ์เสริมอาหาร อีกทั้งยังเป็นการส่งเสริมการอนุรักษ์คุณค่าของสมุนไพรไทยอีกทางหนึ่ง



## สรุปผลการศึกษา

สาร Lup-20 (29)-ene-3 $\alpha$ , 23-diol สามารถยับยั้งการเจริญของเชื้อแบคทีเรียแกรมลบได้ 3 สายพันธุ์ คือ *E. coli* ATCC 25922, *S. marcescens* และ *P. aeruginosa* ATCC 27853 และเมื่อนำ Lup-20 (29)-ene-3 $\alpha$ , 23-diol มาใช้ร่วมกับยาปฏิชีวนะ พบว่า Lup-20 (29)-ene-3 $\alpha$ , 23-diol สามารถเสริมฤทธิ์กับยาปฏิชีวนะเตตราซัยคลินได้ดีกว่าการใช้ร่วมกับยาปฏิชีวนะแอมพิซิลลิน และให้ผลดีที่สุดในการเสริมฤทธิ์เพื่อยับยั้งการเจริญของเชื้อ *P. aeruginosa* ATCC 27853 และผลการเสริมฤทธิ์นี้ได้ช่วยยืดระยะเวลาของการออกฤทธิ์ของยาปฏิชีวนะเตตราซัยคลิน และเพิ่มประสิทธิภาพการยับยั้งได้ดีขึ้น

## กิตติกรรมประกาศ

ขอขอบคุณผู้ให้การสนับสนุนการทำวิจัยครั้งนี้ ได้แก่ โครงการส่งเสริมการผลิตครูที่มีความสามารถพิเศษทางวิทยาศาสตร์ และคณิตศาสตร์ (สควค.) ภาควิชาชีววิทยาที่เอื้อเพื่อสถานที่ทำวิจัย ภาควิชาจุลชีววิทยา ที่ให้ความอนุเคราะห์เชื้อแบคทีเรีย ภาควิชาเคมี คณะวิทยาศาสตร์ มหาวิทยาลัยบูรพา ที่ให้ความอนุเคราะห์สารบริสุทธิ์ และโรงพยาบาลศูนย์ชลบุรี จังหวัดชลบุรี ที่ให้ความอนุเคราะห์เชื้อแบคทีเรียสายพันธุ์ดื้อยา

## เอกสารอ้างอิง

1. กัทธชัย กิรติสิน. ตำราวิทยาแบคทีเรียการแพทย์. พิมพ์ครั้งที่ 2. กรุงเทพมหานคร : หจก. วี. เจ. พรินติ้ง ; 2552.
2. Fair RJ, Tor Y. Antibiotics and bacterial resistance in the 21<sup>st</sup> century. *Perspectives in Medicinal Chemistry* 2014 ; 6 : 25-64.
3. ภาณุมาศ ภูมาศ, วิษณุ ธรรมลิขิตกุล, ภูษิต ประคองสาย, ตวงรัตน์ โพธิ์, อาทร รวีไพบูรณ์, สุพลลิมวัฒนา นนท์. ผลกระทบด้านสุขภาพและเศรษฐศาสตร์จากการติดเชื้อมดื้อยาด้านจุลชีพในประเทศไทย: การศึกษาเบื้องต้น. *วารสารวิจัยระบบสาธารณสุข* 2555 ; 6 : 352-60.
4. Dhama K, Chakraborty S, Mahima, Wani MY, Verma AK, Deb R, et al. Novel and emerging therapies safeguarding health of humans and their companion animals: a review. *Pakistan Journal of Biological Sciences* 2013 ; 16 : 101-11.
5. Rahal A, Kumar A, Singh V, Yadav B, Tiwari R, Chakraborty S, et al. Phytonutrients and nutraceuticals in vegetables and their multidimensional medicinal

- and health benefits for humans and their companion animals: a review. *International Journal of Biological Sciences* 2014 ; 14 : 1-19.
6. Wang CM, Chen HT, Wu ZY, Jhan YL, Shyu CL, Chou CH. Antibacterial and synergistic activity of pentacyclic triterpenoids Isolated from *Alstonia scholaris*. *Molecules* 2015 ; 21 : 1-11.
  7. Hamza M, Nadir M, Mehmood, Farooq A. In vitro effectiveness of triterpenoids and their synergistic effect with antibiotics against *Staphylococcus aureus* strains. *Indian Journal of Pharmacology* 2016; 48 : 1-5.
  8. ศีตมาลีร์ ก้อนทอง, วารีย์ เถืองจำนงค์. องค์ประกอบทางเคมีจากส่วนสกัดหยาบเฮกเซนของลำต้น *Glochidion daltonii*. *วารสารวิทยาศาสตร์บูรพา ฉบับพิเศษ การประชุมวิชาการระดับชาติ ครั้งที่ 6* 2557: 390-8.
  9. El Sayed MA, Ezzat MS, Sabry MO. A new antibacterial lupene ester from the seeds of *Acokanthera oppositifolia* Lam. *Natural Product Research* 2016; 30 : 2813-8.
  10. Siddique HR, Saleem M. Beneficial health effects of lupeol triterpene : a review of preclinical studies. *Life Science* 2011 ; 88 : 285-93.
  11. Sakkrom P, Pompimon W, Meepowpan P, Nuntasaen N, Loetchutin C. The effect of *Phyllanthus taxodiifolius* Beille extracts and its triterpenoids studying on cellular energetic stage of cancer cells. *American Journal of Pharmacology and Toxicology* 2010 ; 5 : 139-44.
  12. Nguemfo EL, Dimo T, Dongmo AB, Azebaze AGB, Alaoui K, Asongalem AE, et al. Anti-oxidative and anti-inflammatory activities of some isolated constituents from the stem bark of *Allanblackia monticola* Staner L.C (Guttiferae). *Inflammopharmacology* 2009 ; 17 : 37-41.
  13. Santiago LA, Mayor ABR. Lupeol : an antioxidant triterpene in *Ficus psuedopalma* Blanco (Moraceae). *Asian Pacific Journal of Tropical Biomedicine* 2014; 4 : 109-18.
  14. Jain R, Rawat S, Jain SC. Phytochemicals and antioxidant evolution of *Ficus racemosa* root bark. *Journal of Pharmacy Research* 2013 ; 6 : 615-9.

15. Mokbel MS, Hashinaga F. Antibacterial and antioxidant activities of banana (Musa, AAA cv. Cavandish) fruits peel. *American Journal of Biochemistry and Biotechnology* 2005 ; 1 : 125-31.
  16. Clinical & Laboratory Standards Institute. Performance standards for antimicrobial susceptibility testing; sixteenth informational supplement. Document M100-S16. Wayne, PA: CLSI; 2006.
  17. Padalia H, Chand S. Antimicrobial efficacy of different solvent extracts of *Tagetes erecta* L. flower, alone and in combination with antibiotics. *Applied Microbiology: Open Access* 2015 ; 1 : 1-10.
  18. Sedlarik V, Galya T, Sedlarikova J, Valasek P, Saha P. The effect of preparation temperature on the mechanical and antibacterial properties of poly (vinyl alcohol) silver nitrate films. *Polymer Degradation and Stability* 2010 ; 95 : 399-404.
  19. Gallo MBC, Sarachine MJ. Biological activities of lupeol. *International Journal of Biomedical and Pharmaceutical Science* 2009 ; 3 : 46-66.
  20. Chung PY, Navaratnam P, Chung LY. Synergistic antimicrobial activity between pentacyclic triterpenoids and antimicrobial against *Staphylococcus aureus* strains. *Annals of clinical Microbiology and Antimicrobials* 2011 ; 10 : 1-6.
-